

Aula 13

F 502 – Eletromagnetismo I

2º semestre de 2020

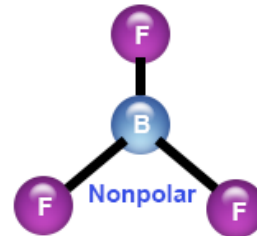
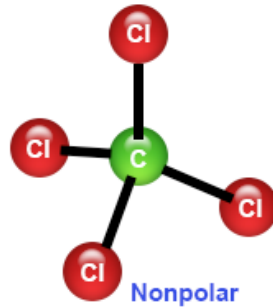
29/10/2020

Campos elétricos na matéria

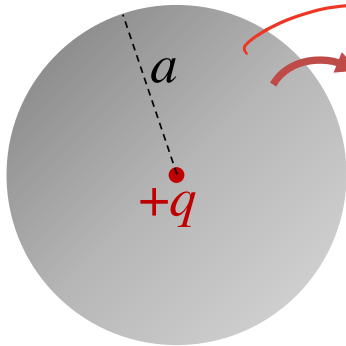
CAMPOS EM DIELETRICOS (ISOLANTES)

Dipolos induzidos

Caso de átomos ou moléculas sem dipolo elétrico permanente: CO_2 , O_2 , N_2 ,...



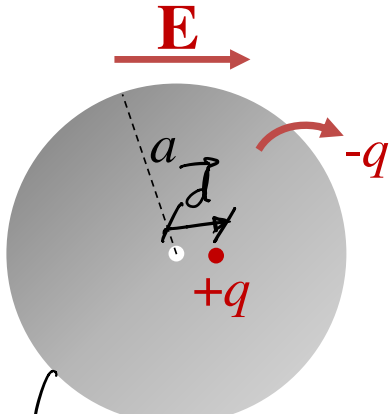
Dipolos induzidos: um modelo



DISTRIBUIÇÃO UNIFORME DE CARGA TOTAL $-q$, ESFÉRICA DE RAIO a

$$\rho = \frac{-q}{V} = \frac{-q}{\frac{4\pi}{3}a^3} = -\frac{3q}{4\pi a^3}$$

SOB O EFEITO DO CAMPO, A CARGA $+q$ SE DESLOCA DO CENTRO DA ESFERA. NA SITUAÇÃO DE EQUILÍBRIO, A FORÇA TOTAL SOBRE q É ZERO.



$$\vec{F} = q\vec{E} - q\vec{E}_{ESF} = 0 \Rightarrow \vec{E} = \vec{E}_{ESF} \Big|_{r=d}$$

CAMPO DE UMA DISTRIBUIÇÃO UNIFORME ESFÉRICA:

$$\vec{E}_{ESF} = +\frac{\rho}{3\epsilon_0} r \hat{r} = -\frac{q}{4\pi\epsilon_0} \frac{r}{a^3} \hat{r}$$

$$\vec{p} = \int \rho_{TOT} \vec{r} dV = q\vec{d}$$

$$|\vec{E}| = |\vec{E}_{\text{esp}}| \Rightarrow E = \frac{q}{4\pi\epsilon_0} \frac{d}{a^3} = \frac{qd}{4\pi\epsilon_0 a^3} \vec{P}$$

$$\Rightarrow P = (4\pi a^3) \epsilon_0 E \Rightarrow \boxed{\vec{P} = (4\pi a^3) \epsilon_0 \vec{E}}$$

DIPLO INDUZIDO É LINEAR NO CAMPO \vec{E} .

$$\vec{P} = \alpha \vec{E} \Rightarrow \alpha = (4\pi a^3) \epsilon_0 \Rightarrow \text{POLARIZABILIDADE DO ÁTOMO}$$

POLARIZAÇÃO: $\vec{P} = \lim_{\Delta V \rightarrow 0} \frac{\Delta \vec{P}}{\Delta V}$ MOMENTO DE DIPLO ELÉTRICO POR UNIDADE DE VOLUME

SE HOUVER UM GRANDE NÚMERO DE DIPLOS INDUZIDOS, A POLARIZAÇÃO É TAMBÉM PROPORCIONAL A

$$\vec{P} = \chi_e \epsilon_0 \vec{E}$$

χ_e SUSCEPTIBILIDADE ELÉTRICA DO MEIO

Polarizabilidade de alguns átomos

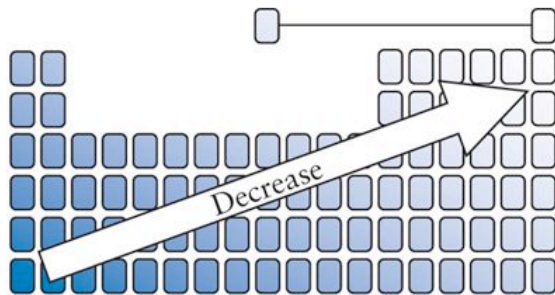
H	He	Li	Be	C	Ne	Na	Ar	K	Cs
0.667	0.205	24.3	5.60	1.67	0.396	24.1	1.64	43.4	59.4

TABLE 4.1 Atomic Polarizabilities ($\alpha/4\pi\epsilon_0$, in units of 10^{-30} m^3). *Data from: Handbook of Chemistry and Physics*, 91st ed. (Boca Raton: CRC Press, 2010).

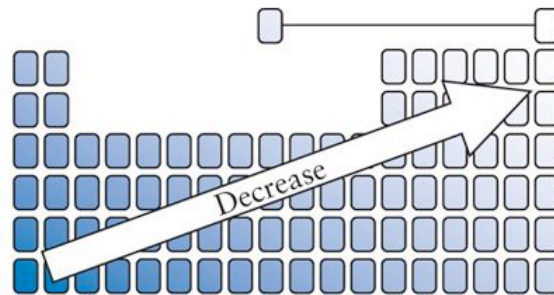
Tendências da polarizabilidade

A polarizabilidade é a facilidade com a qual o átomo se deforma.

Bate bem com o modelo simples.



Size of Atom



Polarizability

Dipolos permanentes

Algunas moléculas polares:

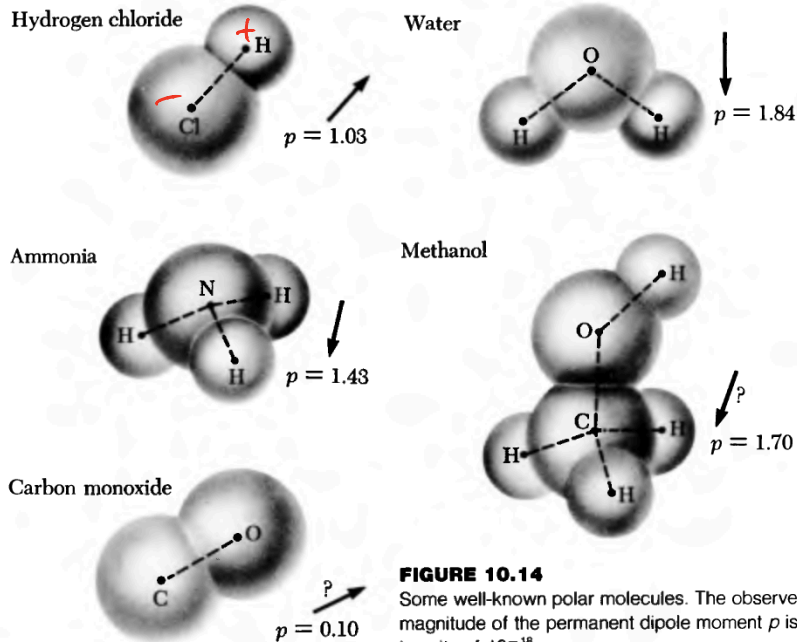
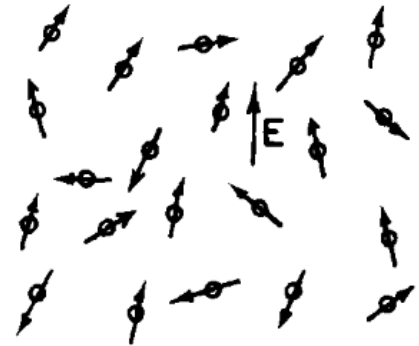


FIGURE 10.14 Some well-known polar molecules. The observed magnitude of the permanent dipole moment p is given in units of 10^{-18} esu-cm.

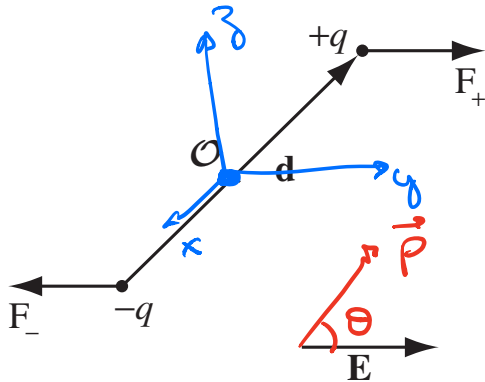


(a)



(b)

Torques em dipolos elétricos



FORÇA TOTAL SOBRE O DIPOLO:

$$\vec{F}_+ + \vec{F}_- = 0$$

TORQUE TOTAL SOBRE CADA DIPOLO:

$$\vec{N} = \sum_{i=1}^2 \vec{r}_i \times \vec{F}_i$$

$$= \left(\frac{d}{2}\right) \times q\vec{E}_+ + \left(-\frac{d}{2}\right) \times q\vec{E}_-$$

$$= q \left(\frac{d}{2}\right) \times \vec{E} - q \left(-\frac{d}{2}\right) \times \vec{E}$$

$$\vec{N} = q\vec{d} \times \vec{E} = \vec{p} \times \vec{E}$$

$$|\vec{N}| = pE \sin \theta$$

O TORQUE ATUA PARA ALINHAR

O DIPOLO AO CAMPO

⇒ USANDO FÍSICA ESTATÍSTICA, MOSTRA-SE QUE $\vec{P} = \chi_e \epsilon_0 \vec{E}$

Efeitos não-lineares, anisotropia e ferroeletricidade

i) SE O CAMPO \vec{E} É MUITO FORTE OU, DEPENDENDO DO MATERIAL;

$$\vec{P} = \epsilon_0 \left[\chi_e \vec{E} + \chi_e^{(3)} (\vec{E} \cdot \vec{E}) \vec{E} + \dots \right]$$

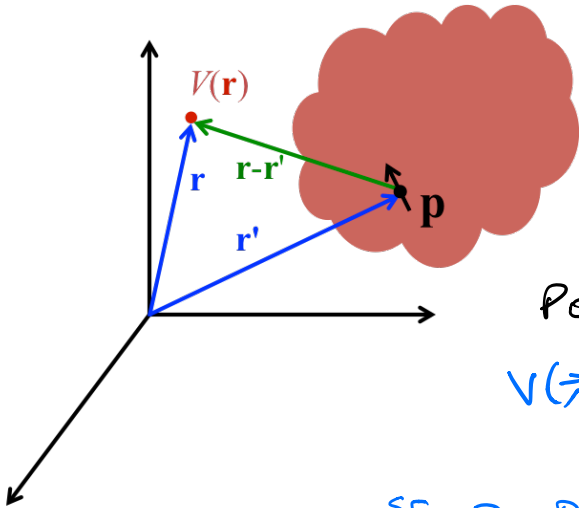
ii) ANISOTROPIA: EM SÓLIDOS NÃO CÚBICOS, VOCÊ PODE TER:

$$\vec{P} = \epsilon_0 \bar{\chi}_e \cdot \vec{E} \Rightarrow \begin{pmatrix} P_1 \\ P_2 \\ P_3 \end{pmatrix} = \epsilon_0 \begin{pmatrix} \chi_{e11} & \chi_{e12} & \chi_{e13} \\ \chi_{e21} & \chi_{e22} & \chi_{e23} \\ \chi_{e31} & \chi_{e32} & \chi_{e33} \end{pmatrix} \begin{pmatrix} E_1 \\ E_2 \\ E_3 \end{pmatrix}$$

\vec{P} PODE NÃO APONTAR NA MESMA DIREÇÃO DE \vec{E}

iii) FERROELETRICIDADE: \vec{P} EXISTE MESMO NA AUSÊNCIA DE CAMPO ELÉTRICO EXTERNO APLICADO (BaTiO_3)
→ ELETRETOS

Cargas ligadas



Qual é o potencial elétrico gerado por um corpo com **polarização $\mathbf{P}(\mathbf{r})$** ?

NÃO IMPORTA COMO $\vec{P}(\vec{r})$ FOI CRIADA

POTENCIAL DE UM DIPÓLO; NA ORIGEM:

$$V(\vec{r}) = \frac{1}{4\pi\epsilon_0} \frac{\vec{P} \cdot \hat{r}}{r^2} = \frac{1}{4\pi\epsilon_0} \frac{\vec{P} \cdot \vec{r}}{r^3}$$

SE O DIPÓLO ESTIVER NO PONTO \vec{r}' :

$$V(\vec{r}) = \frac{1}{4\pi\epsilon_0} \frac{\vec{P} \cdot (\vec{r} - \vec{r}')}{|\vec{r} - \vec{r}'|^3}$$

PARA O CORPO COMO UM TODO : $d\vec{p} = \vec{P}(\vec{r}') dV'$

$$V(\vec{r}) = \frac{1}{4\pi\epsilon_0} \int \frac{\vec{P}(\vec{r}') \cdot (\vec{r} - \vec{r}')}{|\vec{r} - \vec{r}'|^3} dV'$$

$\int_B(\vec{\lambda}) = -\vec{\nabla} \cdot \vec{P}(\vec{\lambda})$ E "VIVE" NO VOLUME DO
CORPO

$\sigma_B(\vec{\lambda}) = \vec{P}(\vec{\lambda}) \cdot \hat{m}$ E "VIVE" NA SUPERFÍCIE
DO CORPO

NOTE QUE \hat{m} APONTA PARA FORA
DO CORPO

Densidades de cargas ligadas

$$\sigma_B(\mathbf{r}) = \hat{\mathbf{n}} \cdot \mathbf{P}(\mathbf{r})$$

$$\rho_B(\mathbf{r}) = -\nabla \cdot \mathbf{P}(\mathbf{r})$$

B → "BOUND" = LIGADA

CARGAS LIGADAS

EM CONTRASTE COM AS CARGAS "LIVRES"
DE CONDUTORES

Resumo

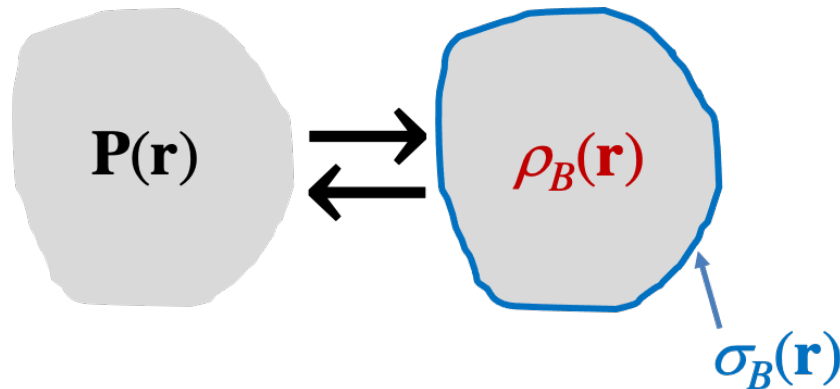
Um corpo com uma polarização $\mathbf{P}(\mathbf{r})$ é equivalente a (produz o **mesmo** campo elétrico que):

1. Uma densidade **volumétrica** de carga:

$$\rho_B(\mathbf{r}) = -\nabla \cdot \mathbf{P}(\mathbf{r})$$

2. E uma densidade **superficial** de carga em sua superfície:

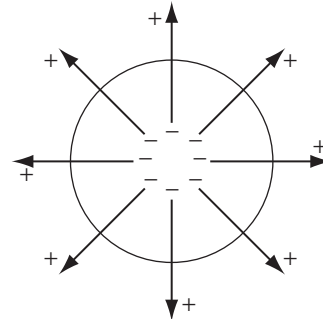
$$\sigma_B(\mathbf{r}) = \hat{\mathbf{n}} \cdot \mathbf{P}(\mathbf{r})$$



Interpretação física das cargas ligadas

$$\rho_B(\mathbf{r}) = -\nabla \cdot \mathbf{P}(\mathbf{r})$$

Polarização divergindo de um ponto:



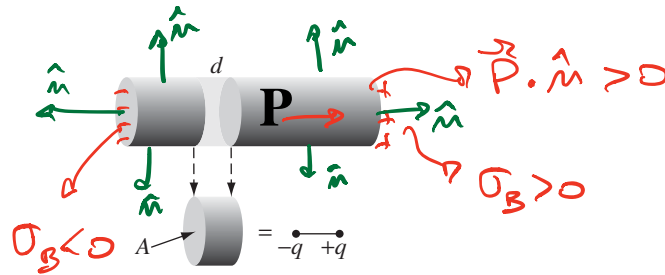
Interpretação física das cargas ligadas

$$\sigma_B(\mathbf{r}) = \hat{\mathbf{n}} \cdot \mathbf{P}(\mathbf{r})$$

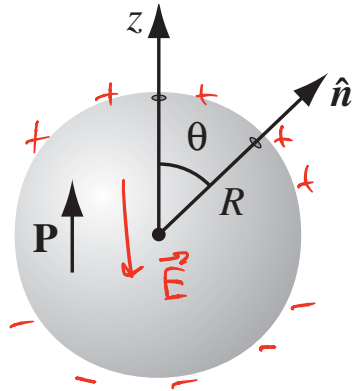
Linha de dipolos:



Cilindro de dipolos:



Exemplo 4.2: esfera uniformemente polarizada: $\mathbf{P}(\mathbf{r}) = P \hat{z}$



$$V(r, \theta) = ?$$

$$\rho_B = -\nabla \cdot \vec{P} = 0$$

$$\sigma_B = \hat{n} \cdot \vec{P} = \hat{n} \cdot P \hat{z} = P \cos \theta = \sigma_B(\theta)$$

O PROBLEMA PODE SER RESOLVIDO USANDO A TÉCNICA DO CAP. 3:

$$V(r, \theta) = \sum_{\ell=0}^{\infty} \left(A_{\ell} r^{\ell} + \frac{B_{\ell}}{r^{\ell+1}} \right) P_{\ell}(\cos \theta) \quad \begin{cases} r > R \\ 0 < r < R \\ r < R \end{cases}$$

⇒ EXEMPLO 3.3 DO LIVRO:

$$V(r, \theta) = \begin{cases} \sum_{\ell=0}^{\infty} A_{\ell} r^{\ell} P_{\ell}(\cos \theta) & (r < R) \\ \sum_{\ell=0}^{\infty} \frac{B_{\ell}}{r^{\ell+1}} P_{\ell}(\cos \theta) & (r > R) \end{cases}$$

$$A_l = \frac{1}{2\epsilon_0 R^{(l-1)}} \int_0^\pi \sigma_B(\theta) P_l(\cos\theta) \sin\theta d\theta$$

$$B_l = \frac{R^{(l+2)}}{2\epsilon_0} \int_0^\pi \sigma_B(\theta) P_l(\cos\theta) \sin\theta d\theta$$

I

$$I = P \int_0^\pi \cos\theta P_l(\cos\theta) \sin\theta d\theta \quad x = \cos\theta \quad dx = -\sin\theta d\theta$$

$$= P \int_{-1}^{+1} x P_l(x) dx = P \int_{-1}^{+1} P_1(x) P_l(x) dx = P \left(\frac{2}{3}\right) \delta_{l,1}$$

-1 $\hookrightarrow P_1(x)$

$$A_l = \begin{cases} 0 & \text{SE } l \neq 1 \\ \frac{P}{3\epsilon_0} & \text{SE } l = 1 \end{cases}$$

$$B_l = \begin{cases} 0 & \text{SE } l \neq 1 \\ \frac{R^3 P}{3\epsilon_0} & \text{SE } l = 1 \end{cases}$$

$$V(r, \theta) = \begin{cases} A_1 r P_1(\cos \theta) = \frac{P}{3\epsilon_0} r \cos \theta = \frac{P}{3\epsilon_0} z & (r < R) \\ \frac{B_1}{r^2} P_1(\cos \theta) = \frac{PR^3}{3\epsilon_0 r^2} \cos \theta = \frac{PR^3}{3\epsilon_0} \frac{\hat{z} \cdot \hat{r}}{r^2} & (r > R) \end{cases}$$

DENTRO DA ESFERA: $V \sim z$

$\Rightarrow \vec{E} = -\vec{\nabla} V = -\frac{P}{3\epsilon_0} \hat{z} \rightarrow$ CAMPO ELÉTRICO DENTRO DA ESFERA É CONSTANTE E APONTA NO SENTIDO OPOSTO À POLARIZAÇÃO \vec{P}

FORA DA ESFERA: $\frac{PR^3}{3\epsilon_0} = \frac{1}{4\pi\epsilon_0} \left(P \underbrace{\frac{4\pi R^3}{3}}_V \right) = \frac{P_{ESF}}{4\pi\epsilon_0}$

$\Rightarrow V(r, \theta) = \frac{1}{4\pi\epsilon_0} \frac{(P_{ESF} \hat{z}) \cdot \hat{r}}{r^2} = \frac{1}{4\pi\epsilon_0} \frac{\vec{P}_{ESF} \cdot \hat{r}}{r^2}$ POTENCIAL DE UM DIPLO \vec{P}_{ESF} NO CENTRO DA ESFERA